## ВЕСЦІ НАЦЫЯНАЛЬНАЙ АКАДЭМІІ НАВУК БЕЛАРУСІ № 3 2016 СЕРЫЯ МЕДЫЦЫНСКІХ НАВУК

УДК 616.33-006.6-089.87-037(476)

M. Ю. РЕВТОВИЧ $^{l}$ , А. И. ШМАК $^{l}$ , О. В. КРАСЬКО $^{2}$ , Р. М. СМОЛЯКОВА $^{l}$ 

# ПРОТЕИН ТИРОЗИНФОСФАТАЗЫ В ПРОГНОЗИРОВАНИИ ПЕРИТОНЕАЛЬНОЙ ДИССЕМИНАЦИИ У ПАЦИЕНТОВ С РЕЗЕКТАБЕЛЬНЫМ РАКОМ ЖЕЛУДКА

<sup>1</sup>Республиканский научно-практический центр онкологии и медицинской радиологии им. Н. Н. Александрова, Минск, Беларусь, e-mail: mihail\_revtovich@yahoo.com <sup>2</sup>Объединенный институт проблем информатики НАН Беларуси, Минск, Беларусь

Исследован уровень экспрессии гена протеин тирозинфосфатазы (*PRL-3*) в первичной опухоли, париетальной брюшине различных отделов брюшной полости у 52 радикально оперированных пациентов, страдающих раком желудка. Определено пороговое значение уровня экспрессии гена *PRL-3*, позволяющее прогнозировать прогрессирование заболевания с формированием диссеминации опухоли по брюшине после хирургического лечения.

Ключевые слова: рак желудка, протеин тирозинфосфатазы, перитонеальная диссеминация.

M. Yu. REUTOVICH<sup>1</sup>, A. I. SHMAK<sup>1</sup>, O. V. KRASKO<sup>2</sup>, R. M. SMOLYAKOVA<sup>1</sup>

## PROTEIN TYROSINE PHOSPHATASE IN THE PREDICTION OF PERITONEAL DISSEMINATION IN PATIENTS WITH RESECTABLE GASTRIC CANCER

<sup>1</sup>N. N. Alexandrov National Cancer Center of Belarus, Minsk, Belarus, e-mail: mihail\_revtovich@yahoo.com 
<sup>2</sup>United Institute of Informatics Problems of the National Academy of Sciences of Belarus, Minsk, Belarus

The expression level of the protein tyrosine phosphatase gene (PRL-3) in the primary tumor and parietal peritoneum of 52 radically operated gastric cancer patients was investigated. The threshold value of PRL-3 to predict the peritoneal dissemination after surgical treatment was defined.

Keywords: gastric cancer, protein tyrosine phosphatase, peritoneal dissemination.

Введение. Отдаленные результаты лечения рака желудка свидетельствуют об условной радикальности большинства выполняемых операций, поскольку прогрессирование заболевания после комбинированного и комплексного лечения является скорее правилом, чем исключением. Возможной причиной является интуитивный подход к до- и интраоперационному стадированию опухолевого процесса и к определению показаний для адъювантной химиотерапии. В этой связи для адекватного дооперационного стадирования опухолевого процесса представляется целесообразным использование молекулярно-биологических маркеров. Это позволит не только выявить наличие субклинических отдаленных метастазов на момент проведения хирургического лечения и на основании этого спрогнозировать развитие заболевания, но и индивидуализированно (с учетом уточненной степени распространенности опухолевого процесса) подойти к назначению адъювантной терапии.

Согласно литературным данным, одним из предикторов течения рака желудка является экспрессия гена протеина тирозинфосфатазы. Протеины тирозинфосфатазы (в англоязычной литературе – protein tyrosine phosphatase type IVA member 3 (*PTP4A3*) или phospahatase of regenerating liver-3 (*PRL-3*)) являются ключевыми регуляторами энзимов клеточных сигнальных путей, связанных с метастазированием [1, 2]. В частности, они регулируют фосфорилирование большинства ключевых сигнальных молекул и принимают участие в процессах клеточной дифференцировки и пролиферации [3]. Как показали результаты предыдущих исследований, гиперэкспрессия гена *PRL-3* связана с плохим прогнозом при ряде злокачественных опухолей [4–6], что

позволило рассматривать этот ген как маркер раннего метастазирования. Очевидно, определение экспрессии PRL-3 у пациентов с резектабельным раком желудка может помочь в прогнозировании прогрессирования заболевания, а следовательно, и в разработке способов профилактики его прогрессирования. На сегодняшний день отсутствует единое мнение в отношении возможности использования PRL-3 для этих целей. Наряду с сообщениями о более агрессивном течении рака желудка при гиперэкспрессии гена PRL-3 в первичной опухоли [2, 7] высказываются предположения об отсутствии какой-либо связи между экспрессией данного гена и общей выживаемостью [5, 6], что обосновывает актуальность настоящего исследования.

Цель данного исследования – определить прогностическую значимость экспрессии гена *PRL-3* в биоптатах различной локализации в развитии прогрессирования заболевания, включая перитонеальную диссеминацию, после хирургического лечения рака желудка.

**Материалы и методы исследования.** Материалом для исследования являлись образцы первичной опухоли (аденокарциномы желудка) и париетальной брюшины обеих куполов диафрагмы, боковых каналов, гипогастральной области и малого таза 52 радикально оперированных пациентов в возрасте от 20 до 70 лет, страдающих раком желудка IIA—IIIC стадий (табл. 1).

Молекулярно-генетическое исследование экспрессии гена *PRL-3* проводили методом полимеразной цепной реакции в режиме реального времени на амплификаторе iQ5 (Bio-Rad, CША) с использованием реагентов Maxima Hot Start Taq DNA Polymerase (Fermentas, Литва) согласно инструкции производителя. Степень очистки и концентрацию РНК измеряли с помощью спектрофотометра Varian Cary 50 (Agilent, США). Обратную транскрипцию осуществляли с помощью набора реагентов High Capacity cDNA Reverse Transcription Kit (Invitrogen, США) согласно инструкции производителя. В работе использованы специфические олигонуклеотидные праймеры и флуоресцентно-меченые (FAM-BHQ1) ТаqМап зонды компании-производителя ОДО «Праймтех» (Республика Беларусь): прямой праймер – GGGACTTCTCAGGTCGTGTC; обратный праймер – AGCCCCGTACTTCTTCAGGT; ТаqМап зонд – FAM-TGGAGGTGAGCTACAAACACATGCG-BHQ1 [8].

Степень распространения опухолевого процесса/медиана наблюдений до события	К-во пациентов				
	всего	при прогрессировании заболевания	при прогрессировании заболевания с формированием диссеминации	в том числе умерших от прогрессирования опухолевого процесса	
pT4a-bN2-3M0	22	14 (63,6 %)	9 (40,9 %)	7 (31,8 %)	
pT4a-bN1M0	6	1 (16,7 %)	1 (16,7 %)	1 (16,7 %)	
pT4a-bN0M0	8	1 (12,5 %)	1 (12,5 %)	1 (12,5 %)	
pT1-3N0-3M0	16	4 (25,0 %)	2 (12,5 %)	3 (18,8 %)	
Всего	52	20 (38,5 %)	13 (25 %)	8 (23,1 %)	
Медиана наблюдений до события <sup>*</sup> , дни		198	174	269	
Медиана наблюдений**, дни		689	690	703	

Таблица 1. Характеристика пациентов, включенных в исследование

 $\Pi$  р и м е ч а н и е. \* – для пациентов с зарегистрированным прогрессированием заболевания; \*\* – для пациентов со стабилизацией процесса.

В качестве референсного гена применяли SCARNA5 [9]. Для нормализации использовали усредненные значения Ср (кроссинг поинт) образцов ткани желудка, не имеющих признаков морфологического изменения. Для получения значений Ср применяли метод максимума второй производной кривых флуоресценции образцов [10]. В аналитической процедуре оценки экспрессии гена PRL-3 на париетальной брюшине использовано максимальное из определенных значений экспрессии PRL-3 для верхнего отдела брюшной полости (оба купола диафрагмы, оба боковых канала) и для нижнего отдела брюшной полости (малый таз, гипогастрий).

Количественные показатели экспрессии гена PRL-3 подчинялись закону нормального распределения (критерий Шапиро–Уилка, p > 0.05) и представлены средним и стандартным отклонением (SD). Частотные характеристики выборки выражены количественными и процентными

величинами. Анализ влияния уровня экспрессии гена *PRL-3* в биоптатах различных локализаций и степени распространенности опухолевого процесса, описываемой категориями Т и N, на характер прогрессирования заболевания проводили с помощью лог-ранк критерия. Расчет уровня экспрессии гена *PRL-3* в биоптатах, ассоциированного с неблагоприятным исходом, выполняли на основе алгоритма максимального ранга и статистики [11]. В многофакторный анализ риска развития перитонеальной диссеминации, который проводили также на основе регрессии пропорциональных рисков Кокса [12], наряду с категориями рТ и рN, описывающими степень распространенности опухолевого процесса, включали показатель экспрессии гена *PRL-3*. Отношения рисков (OP) рассчитывали как экспоненциальное преобразование соответствующих коэффициентов регрессии. Доверительные интервалы для OP рассчитывали как экспоненциальное преобразование соответствующих доверительных интервалов коэффициентов регрессии.

Все расчеты производили в статистическом пакете R, версия 3.1.3, с использованием пакетов survival [13] и maxstat [14]. Результаты анализа считали статистически значимыми при p < 0.05.

Результаты и их обсуждение. При оценке отдаленных результатов лечения установлено, что прогрессирование заболевания (в том числе с формированием канцероматоза) наблюдалось при любой распространенности опухолевого процесса, в том числе и при отсутствии инвазии серозной оболочки (табл. 1). Как известно, распространение опухоли на серозную оболочку (рТ4а) или переход ее на соседние структуры (рТ4b) является фактором риска развития перитонеальной диссеминации [2]. В то же время наличие менее распространенного опухолевого процесса (рТ1-3) не предотвратило формирование канцероматоза и ухудшение отдаленных результатов лечения. При оценке показателей кумулятивной выживаемости в подгруппах, разделенных по критерию рТ (рТ1-3 против рТ4а-b) лог-ранговые критерии для выживаемости, свободной от прогрессирования, и выживаемости, свободной от диссеминации, составили 0,113 и 0,170 соответственно (рис. 1).

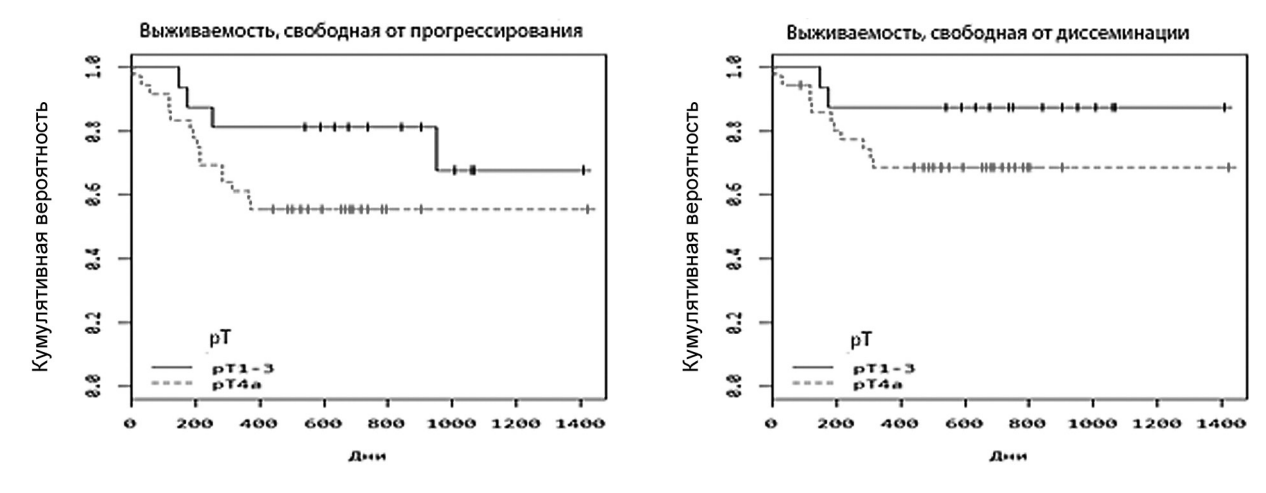
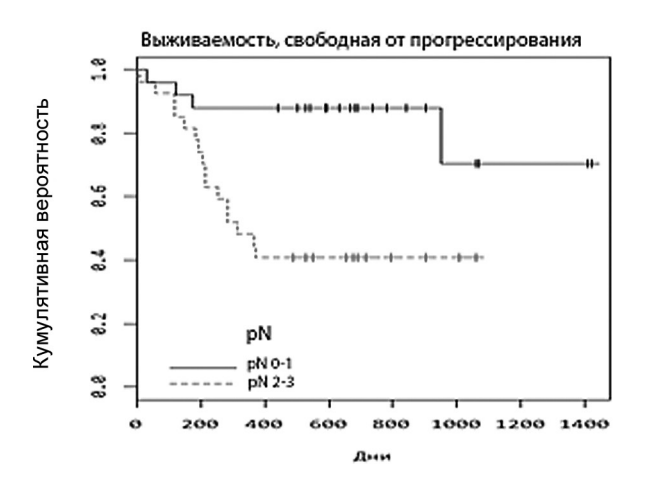


Рис. 1. Кумулятивная выживаемость пациентов с резектабельным раком желудка при различной степени инвазии (pT) стенки желудка

Напротив, степень метастатического поражения регионарного лимфоколлектора оказывала влияние на отдаленные результаты лечения — увеличение степени метастатического поражения (pN2-3) привело к ухудшению показателей свободной от прогрессирования ( $p_{log-rank} = 0,002$ ) и свободной от диссеминации ( $p_{log-rank} = 0,042$ ) выживаемости (рис. 2).

Возможным объяснением может быть более интенсивное поступление опухолевых клеток в свободную брюшную полость из пересеченных лимфатических сосудов в процессе выполнения лимфодиссекции у пациентов с pN2-3, что увеличивает риск и частоту развития диссеминации опухоли по брюшине [15, 16]. Вторым возможным объяснением является более интенсивная (в сравнении с pN0-1) гематогенная диссеминация опухолевых клеток в случае более распространенного опухолевого процесса, соответствующего pN2-3.



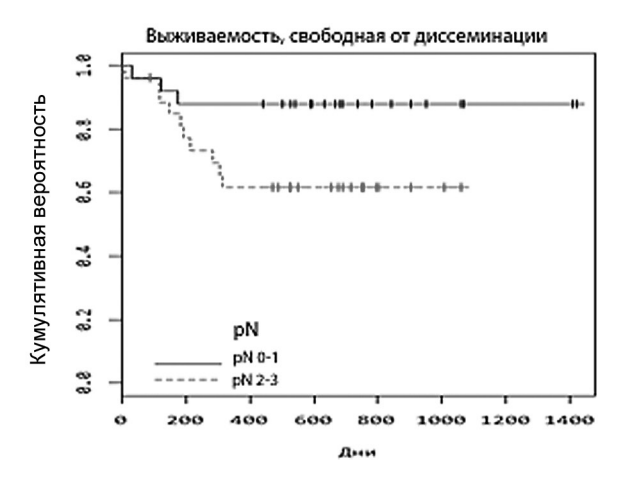


Рис. 2. Кумулятивная выживаемость у пациентов с резектабельным раком желудка при различной степени метастатического поражения (pN) регионарного лимфоколлектора

Если рассматривать возможность использования для прогнозирования указанные выше категории pT и pN, то в отношении pT можно заключить, что отсутствие статистически значимых различий в показателях кумулятивной выживаемости, свободной от прогрессирования и свободной от диссеминации, может свидетельствовать о недостаточной прогностической значимости категории рТ. В сравнении с категорией рТ категория р в нашем исследовании лучше прогнозировала клиническое течение заболевания после хирургического лечения. Однако, как следует из информации, приведенной в табл. 1, использование только этих данных лишь приблизительно позволяет оценить возможность прогрессирования заболевания, поскольку даже при массивном метастатическом поражении регионарного лимфоколлектора имели место случаи стабилизации процесса в отсутствие адъювантного лечения. То есть, в одних случаях этот процесс ограничивался формированием регионарных лимфогенных метастазов, а в других он приобретал характер системного заболевания с развитием отдаленных лимфогематогенных и/или имплантационных метастазов. Это свидетельствует о том, что возможность системного прогрессирования заболевания определяется особенностями биологии аденокарциномы каждого конкретного пациента, а именно наличием так называемого «агрессивного» фенотипа последней, обусловливающего высокую склонность к метастазированию. Это послужило основанием для оценки возможностей использования уровня экспрессии гена PRL-3 в биоптатах различных локализаций для прогнозирования клинического течения заболевания после проведения хирургического лечения.

Для оценки возможности использования PRL-3 в качестве предиктора течения заболевания нами определены значения его экспрессии в биоптатах различной локализации и их взаимосвязь с клиническим течением заболевания (табл. 2).

Таблица2. Экспрессия гена *PRL-3* у пациентов с резектабельным раком желудка в биоптатах различной локализации

Анализируемый биоптат	Экспрессия гена PRL-3 в биоптатах, отн. ед. (среднее – SD)		
Первичная опухоль ( $n = 36$ )	4,9 (2,9)		
Париетальная брюшина диафрагмы и боковых каналов ( $n = 29$ )	4,1 (3,5)		
Париетальная брюшина малого таза ( $n = 33$ )	3,6 (3,5)		

Из 36 пациентов с экспрессией PRL-3 в первичной опухоли у 15 (41,7 %) отмечалось прогрессирование заболевания в том или ином варианте. Аналогичным образом из 29 пациентов с экспрессией PRL-3 в париетальной брюшине диафрагмы и боковых каналов прогрессирование заболевания наблюдалось у 11 (37,9 %), а из 28 пациентов с экспрессией PRL-3 в париетальной брюшине малого таза и гипогастрия — у 12 (42,9 %).

При оценке влияния уровня экспрессии гена PRL-3 в биоптатах различной локализации на развитие прогрессирования заболевания (вне зависимости от его варианта — отдаленные лимфогематогенные метастазы или диссеминация опухоли по брюшине) по результатам однофакторного анализа какой-либо зависимости не установлено. Однако при оценке влияния экспрессии гена PRL-3 на формирование канцероматоза брюшины установлено, что высокие значения экспрессии гена PRL-3 в биоптатах париетальной брюшины диафрагмы и боковых каналов увеличивали риск развития диссеминированного поражения брюшины после хирургического лечения, что негативно повлияло на отдаленные результаты лечения (табл. 3, рис. 3).

ТаблицаЗ. Пороговый уровень экспрессии гена *PRL-3* в биоптатах различной локализации для оценки риска развития перитонеальной диссеминации после хирургического лечения рака желудка по результатам однофакторного анализа

	К-во наблюдений/ к-во событий	Результаты однофакторного анализа		
Анализируемый биоптат		Пороговый уровень экспрессии <i>PRL-3</i> , отн. ед.	p	ОР (95 % ДИ)
Первичная опухоль	36/12	_	NS	_
Париетальная брюшина диафрагмы и боковых каналов	29/9	≤2	0,018	6,7 (1,4–32,2)
Париетальная брюшина малого таза и гипогастрия	28/10	-	NS	_

Примечание. NS – различия статистически незначимы.

#### Выживаемость, свободная от диссеминации

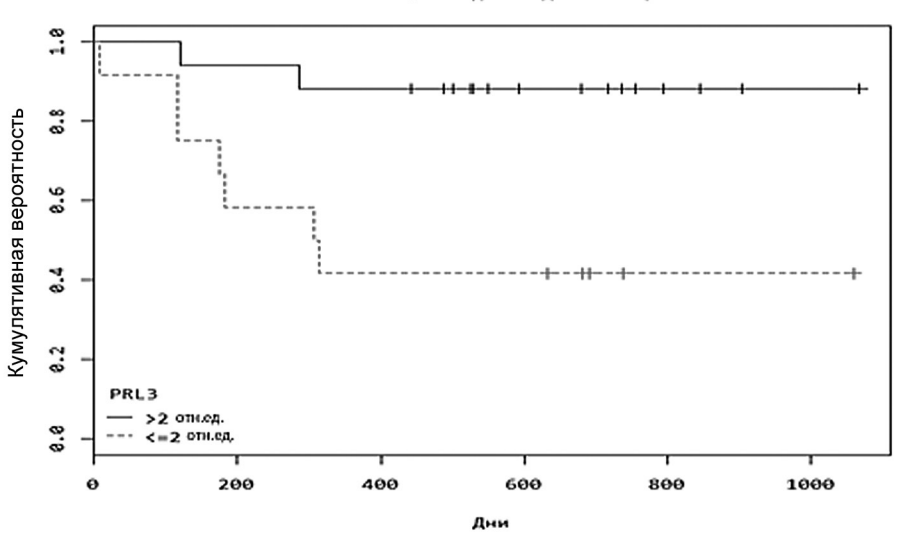


Рис. 3. Кумулятивная выживаемость, свободная от диссеминации, у пациентов с резектабельным раком желудка при различной экспрессии гена PRL-3 в париетальной брюшине диафрагмы и боковых каналов ( $p_{log-rank}$  = 0,007)

Показатели, статистически значимо влиявшие на характер прогрессирования по результатам однофакторного анализа, были включены в многофакторный анализ. По результатам последнего установлено, что риск развития диссеминированного поражения брюшины после радикального хирургического лечения рака желудка в 7,3 раза выше у пациентов, у которых уровень экспрессии гена PRL-3 в париетальной брюшине верхних отделов брюшной полости превышает установленное в данном исследовании пороговое значение ( $\leq$ 2 отн. ед.) (табл. 4).

Согласно данным, представленным в табл. 4, традиционно применяющиеся для прогнозирования клинического течения заболевания категории рТ и рN классификации рТNМ не продемонстрировали прогностической значимости в настоящем исследовании. Это подтверждает мнение N. Dai и соавт. (2009) [1] о недостаточной адекватности использования классификации рТNМ для прогнозирования клинического течения заболевания у пациентов, страдающих

Таблица4. Многофакторный анализ (Кокс-регрессия) зависимости прогрессирования заболевания с развитием перитонеальной диссеминации от уровня экспрессии гена *PRL-3* и степени распространенности опухолевого процесса

Показатели, ассоциированные с неблагоприятным исходом		Результаты регрессионного анализа		
		p	ОР (95 % ДИ)	
Пороговый уровень экспрессии $PRL$ -3 в париетальной брюшине диафрагмы и боковых каналов $\leq$ 2 отн. ед.	1,99	0,017	7,3 (1,4–37,4)	
pN2-3 против pN0-1	0,61	0,483	1,8 (0,3–10,3)	
рТ4 против рТ1-3	1,25	0,273	3,5 (0,3–33,1)	

раком желудка II—III стадии. В то же время результаты многофакторного анализа свидетельствуют о том, что определение экспрессии гена PRL-3 в биоптатах париетальной брюшины диафрагмы и боковых каналов позволяет прогнозировать перитонеальную диссеминацию при наличии в них уровня экспрессии  $\leq$ 2 отн. ед. Следует обратить внимание на тот факт, что приведенное выше значение экспрессии гена PRL-3 отмечалось в биоптатах париетальной брюшины не только у пациентов с инвазией опухолью серозной оболочки (рТ4а-b) и имеющих высокий риск прогрессирования с формированием канцероматоза [2], но и у лиц, у которых инвазия опухоли серозной оболочки (рТ1-3) отсутствовала. Следовательно, с учетом результатов проведенного нами многофакторного анализа, определение экспрессии гена PRL-3 в биоптатах париетальной брюшины для прогнозирования прогрессирования рака желудка после хирургического лечения представляется более целесообразным, чем традиционно используемые для этой цели категории классификации рТNM.

В доступной нам литературе сведений о результатах влияния экспрессии гена *PRL-3* в париетальной брюшине на выживаемость, свободную от диссеминации, нами не обнаружено. Приведенные нами данные представляют интерес потому, что в исследование были включены только пациенты без макроскопических признаков перитонеальной диссеминации. Принимая во внимание тот факт, что экспрессия *PRL-3* наблюдается преимущественно в опухолевой ткани [17], можно предположить, что у обследованных нами пациентов имела место субклинически протекающая перитонеальная диссеминация, в последующем реализовавшаяся клинически только у лиц с высоким уровнем экспрессии гена *PRL-3*, определенного в настоящем исследовании как пороговый. Следует отметить, что развитие данного варианта прогрессирования отмечалось при любой распространенности опухолевого процесса, в том числе у пациентов, традиционно считающихся наименее угрожаемыми по данному варианту прогрессирования (без инвазии опухолью серозной оболочки желудка). При этом фактором, определяющим неблагоприятный в плане формирования канцероматоза прогноз, выступала только экспрессия *PRL-3* на париетальной брюшине диафрагмы и боковых каналов.

О взаимосвязи экспрессии гена PRL-3 в первичной опухоли с развитием перитонеальной диссеминации сообщали многие авторы [7, 18], однако ни в одном из исследований не отмечено влияния PRL-3 на выживаемость. Так, подавление экспрессии гена PRL-3 в эксперименте  $in\ vivo$  приводило к торможению роста диссеминатов на париетальной брюшине [18]. Z. R. Li и соавт. (2007) [7] сообщили о том, что уровень экспрессии гена PRL-3 в первичной опухоли коррелировал с частотой развития перитонеальной диссеминации. Согласно результатам проведенного авторами исследования, уровень экспрессии гена PRL-3 в клинически определяемых диссеминатах выше такового в первичной опухоли, что соответствует полученным нами результатам. По мнению Z. R. Li и соавт. (2007) [7], биохимические механизмы влияния PRL-3 на развитие диссеминации опухоли по брюшине нуждаются в уточнении. Возможно, гиперэкспрессия гена PRL-3 сопровождается увеличением подвижности опухолевых клеток и их способности к инвазии, что в целом располагает к формированию отдаленных метастазов, включая имплантационные [19].

**Заключение.** Таким образом, результаты проведенных нами исследований свидетельствуют о том, что оценка экспрессии гена *PRL-3* в биоптатах париетальной брюшины диафрагмы и боковых каналов может использоваться для прогнозирования развития канцероматоза после ради-

кального хирургического лечения рака желудка. Наличие экспрессии, превышающей пороговое значение, определенное в данном исследовании, свидетельствует о высоком риске формирования перитонеальной диссеминации и может использоваться для персонифицированного подхода при определении показаний для адъювантной интраперитонеальной химиотерапии у пациентов, которые страдают раком желудка и у которых распространенность опухолевого процесса соответствует рТ1-4N0-3M0 и высок риск данного варианта прогрессирования заболевания.

### Список использованной литературы

- 1. Expression of phosphatase regenerating liver 3 is an independent prognostic indicator for gastric cancer / N. Dai [et al.] // World J. Gastroenterol. 2009. Vol. 15, N 12. P. 1499–1505.
- 2. Prognosis of phosphatase of regenerating liver 3 expression in gastric cancer: a meta-analysis / L. Hu [et al.] // PLoS ONE. 2013. Vol. 8 (10): e76927. doi: 10.1371/Journal pone.0076927.
- 3. Al-Aidaroos, A. Q. PRL-3 phosphatase and cancer metastasis / A. Q. Al-Aidaroos, Q. Zeng // J. Cell. Biochem. 2010. Vol. 111. P. 1087–1098.
- 4. Prognostic value of PRL-3 overexpression in early stages of colonic cancer / X. Xing [et al.] // Histopathology. 2009. Vol. 54. P. 309–318.
- 5. PTP4A3 (PRL-3) expression correlate with lymphatic metastases in gastric cancer / A. Pryczynicz [et al.] // Folia Histochem. Cytobiol. 2010. Vol. 48, N 4. P. 632–636.
- 6. High PRL-3 expression in human gastric cancer is a marker of metastasis and grades of malignancies: an in situ hybridization study / U. A. Miskad [et al.] // Virchows Arch. 2007. Vol. 450, N 3. P. 303–310.
- 7. Association of tyrosine PRL-3 phosphatase protein expression with peritoneal metastasis of gastric carcinoma and prognosis / Z. R. Li [et al.] // Surg. Today. 2007. Vol. 37. P. 646–651.
- 8. Overexpression and involvement in migration by the metastasis-associated phosphatase PRL-3 in human myeloma cells / F. Unn-Merete [et al.] // Blood. -2008. Vol. 111, N 2. P. 806-815.
- 9. Standardized determination of real-time PCR efficiency from a single reaction set-up / A. Tichopad [et al.] // Nucl. Acids Res. 2003. Vol. 31, N 20. e122. doi: 10.1093/nar/gng122.
- 10. Application of housekeeping npcRNAs for quantitative expression analysis of human transcriptome by real-time PCR / Ch. R. Galiveti [et al.] // RNA. 2010. Vol. 16, N 2. P. 450–461.
- 11. Assessment of optimally selected prognostic factors / B. Lausen [et al.] // Biometr. J. 2004. Vol. 46, N 3. P. 364–374
- 12. *Therneau*, *T*. A package for survival analysis in S\_ version 2.38 [Электронный ресурс] / T. Therneau. 2015. Mode of access: http://CRAN.R-project.org/package=survival>. Date of access: 12.02.2016.
- 13. Andersen, P. Cox's regression model for counting processes, a large sample study / P. Andersen, R. Gill // Annals of Statistics. 1982. Vol. 10. P. 1100–1120.
- 14. *Hothorn, T.* Maxstat: maximally selected rank statistics. R package version 0.7-22 [Электронный ресурс] / T. Hothorn. 2015. Mode of access: http://CRAN.R-project.org/package=maxstat. Date of access: 18.02.2016.
- 15. Mechanisms of peritoneal metastasis after operation for non-serosa invasive gastric carcinoma: an ultrarapid detection system for intraperitoneal free cancer cells and a prophylactic strategy for peritoneal metastasis / T. Marutsuka [et al.] // Clin. Cancer Res. 2003. Vol. 9. P. 678–685.
- 16. Peritoneal washing cytology: prognostic value of positive findings in patients with gastric carcinoma undergoing a potentially curative resection / Y. Kodera [et al.] // J. Surg. Oncol. 1999. Vol. 72. P. 60–65.
- 17. Phosphatase of regenerating liver-3 as a prognostic biomarker in histologically node-negative gastric cancer / A. Ooki [et al.] // Oncol. Reports. 2009. Vol. 21. P. 1467–1475.
- 18. Inhibition of PRL-3 gene expression in gastric cancer cell line SGC7901 via microRNA suppressed reduces peritoneal metastasis / Z. Li [et al.] // Biochem. Biophys. Res. Commun. 2006. Vol. 348. P. 229–237.
- 19. Phosphatase of regenerating liver-3 promotes motility and metastasis of mouse melanoma cells / X. Wu [et al.] // Am. J. Pathol. -2004. Vol. 164, N 6. P. 2039-2054.

Поступила в редакцию 04.06.2016